

FIG. 1

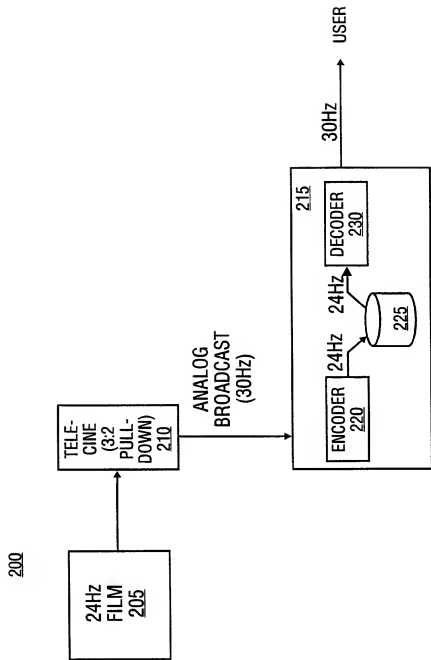


FIG. 2

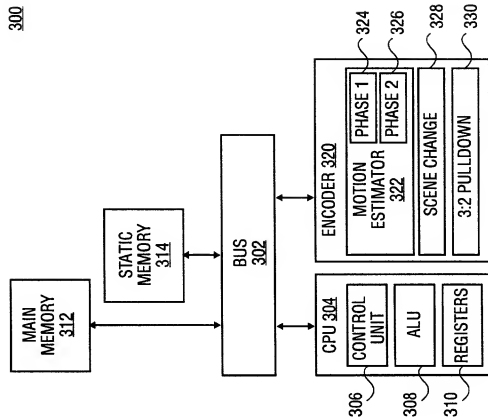


FIG. 3A

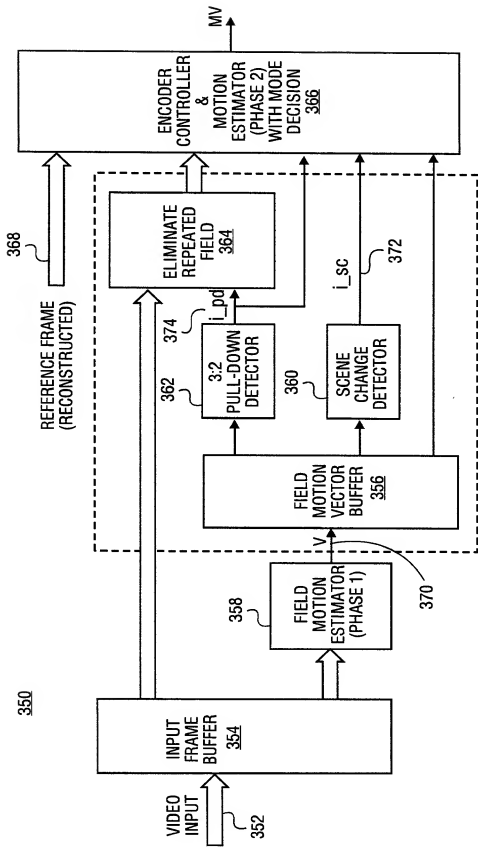


FIG. 3B

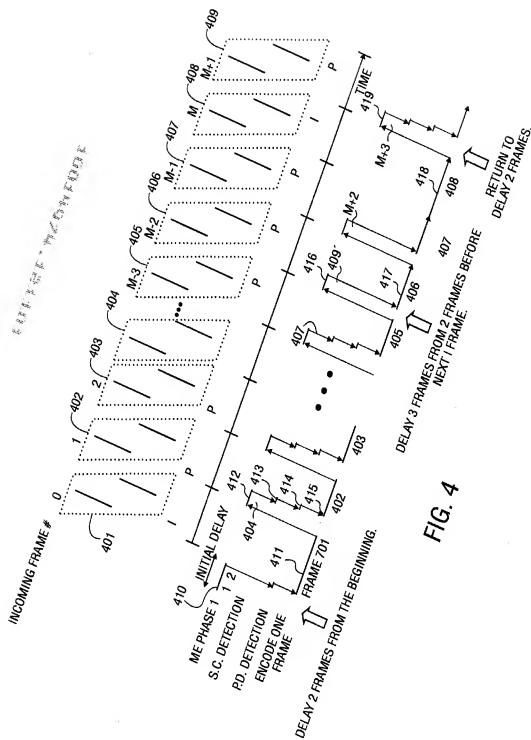
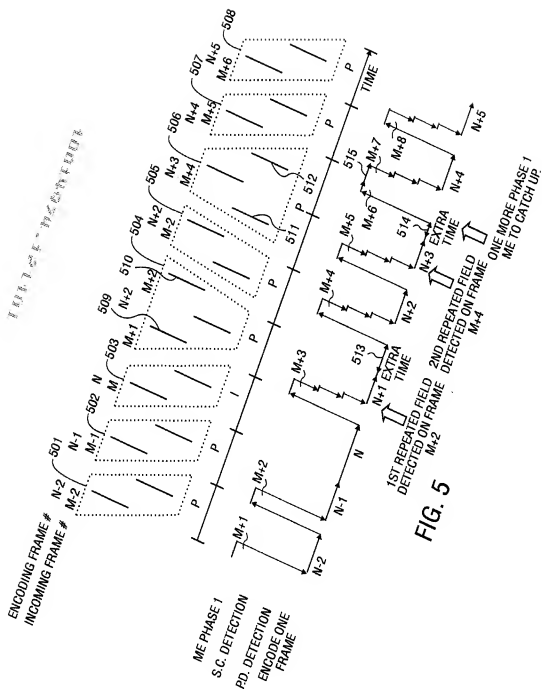


FIG. 4



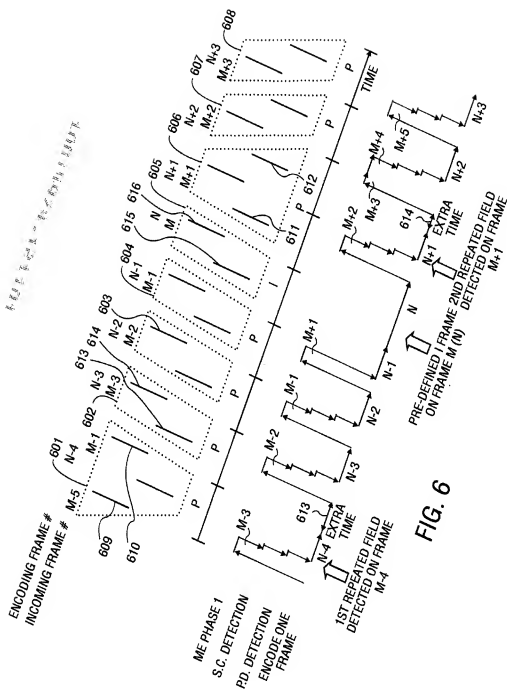
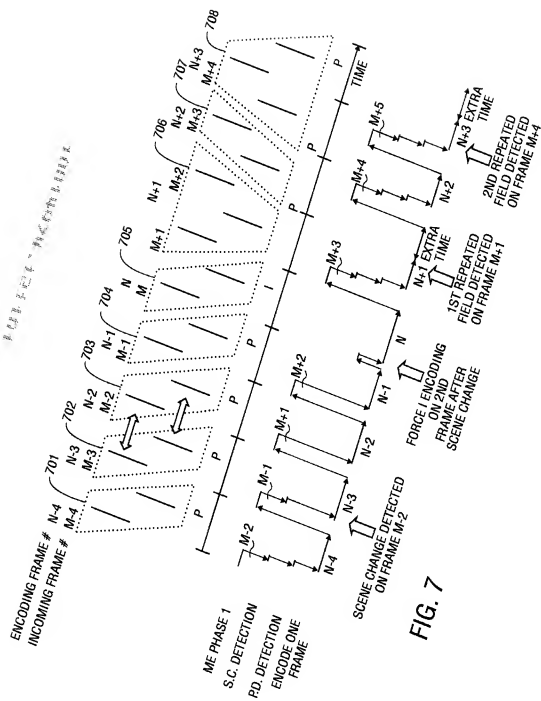


FIG. 6





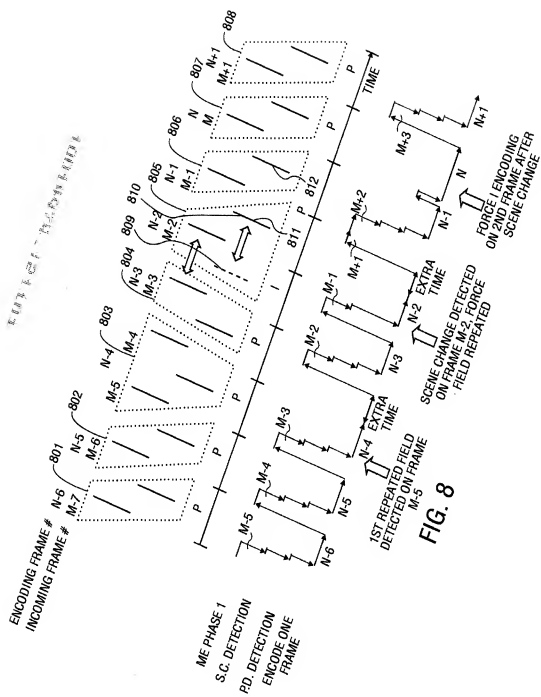


FIG. 8

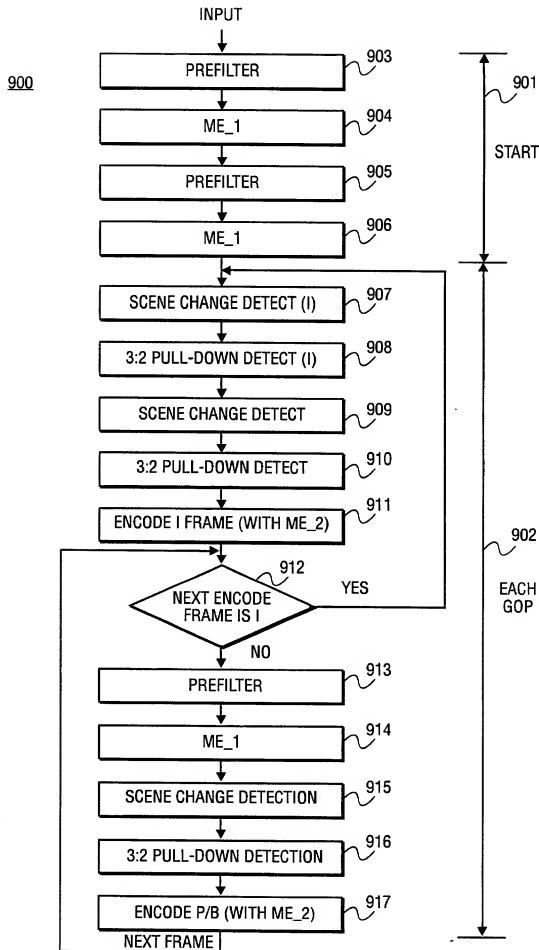


FIG. 9

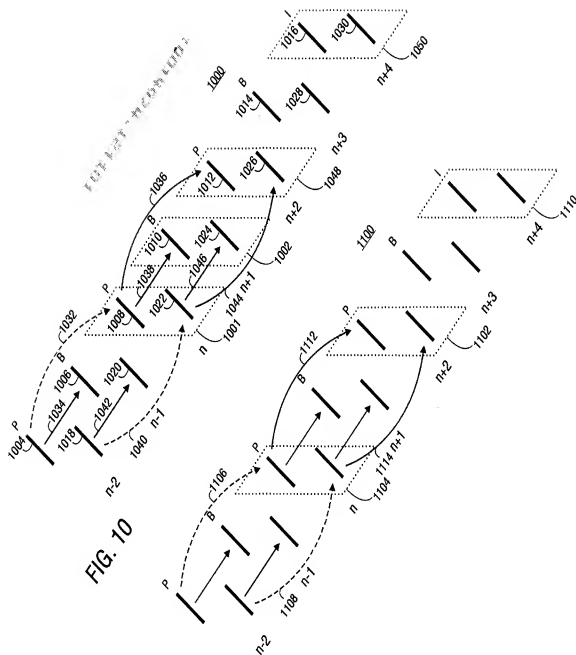


FIG. 17

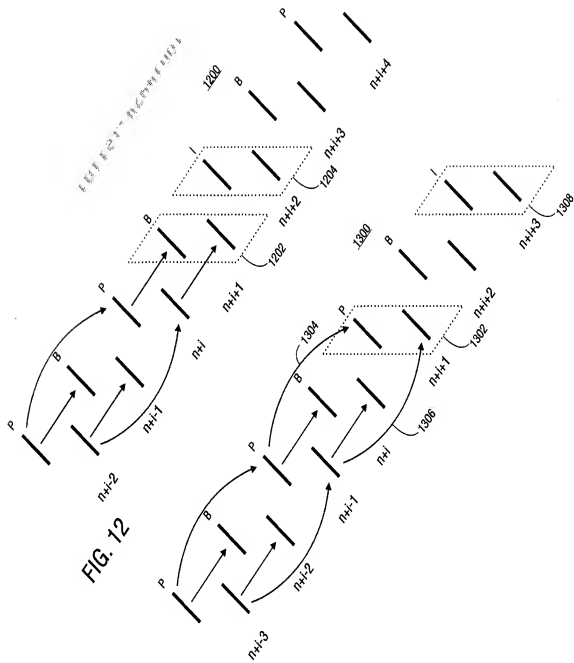


FIG. 12

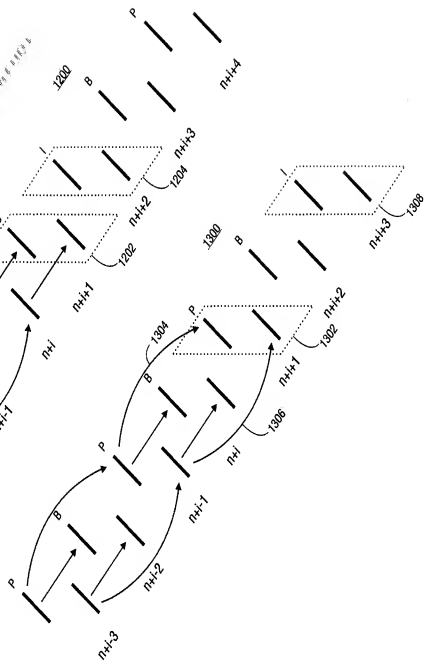


FIG. 13



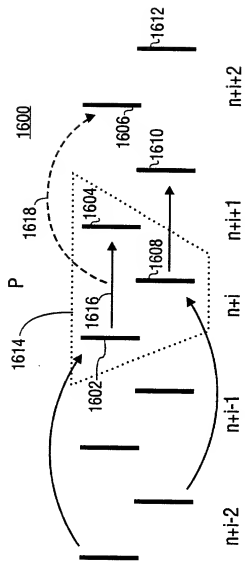
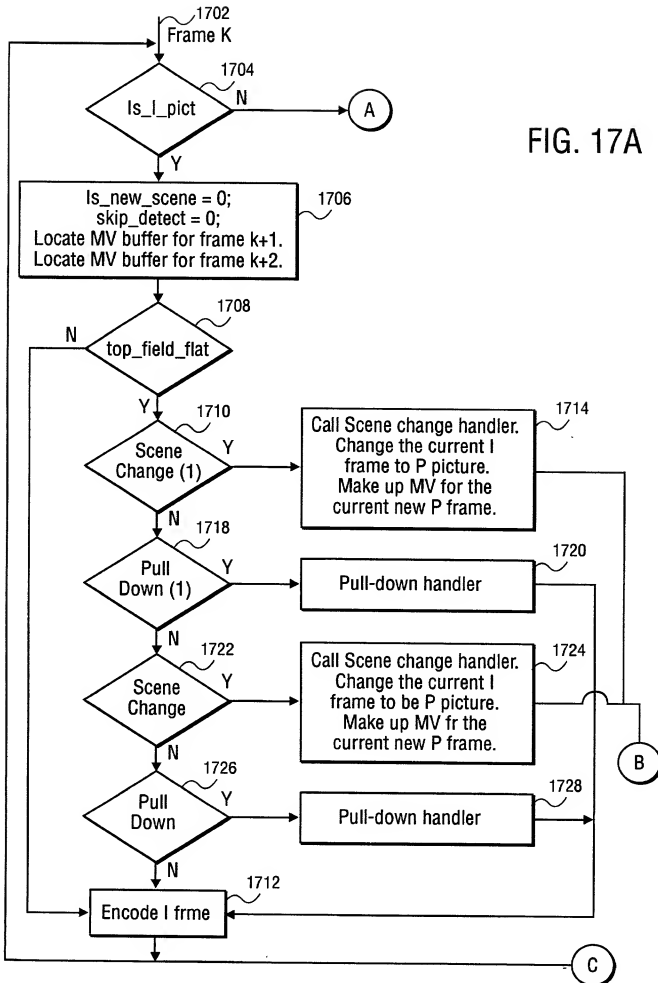


FIG. 16

FIG. 17A



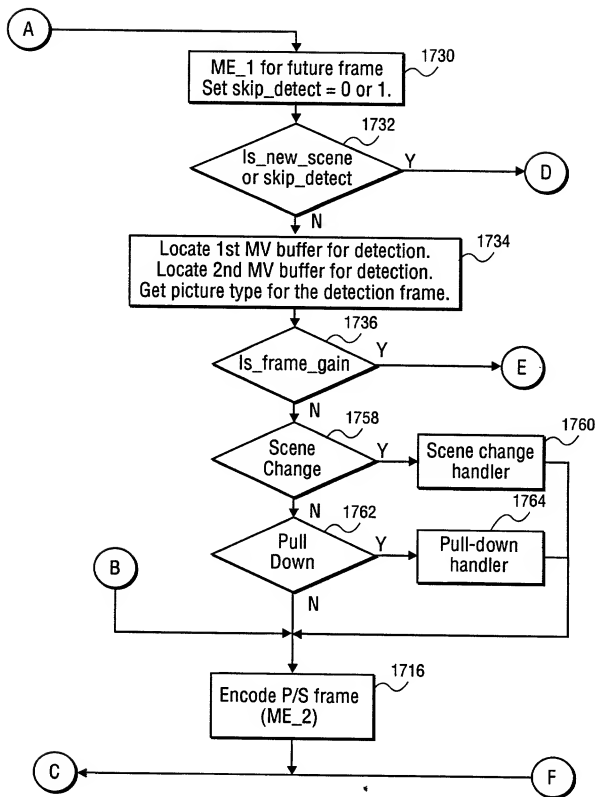


FIG. 17B



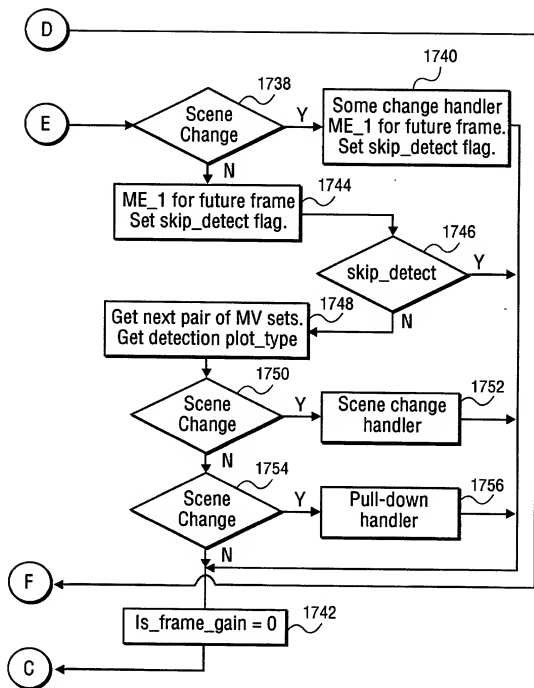


FIG. 17C

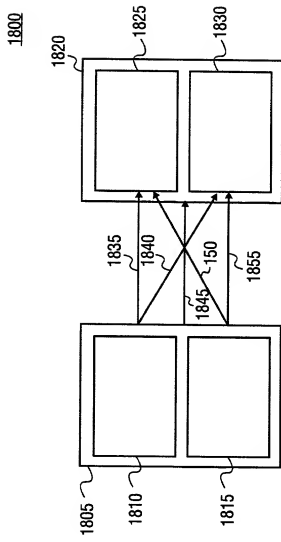


FIG. 18A

Top-field First

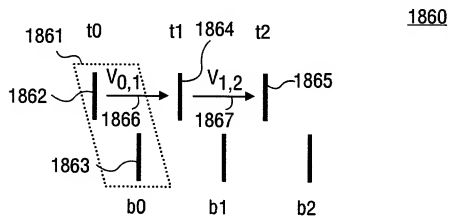


FIG. 18B

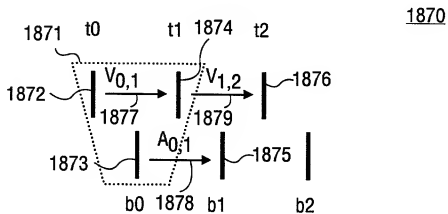


FIG. 18C

Bottom-field First

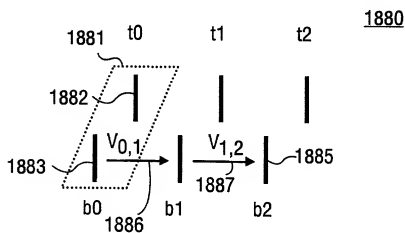


FIG. 18D

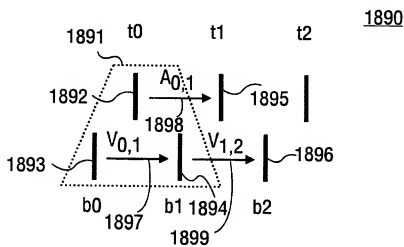


FIG. 18E

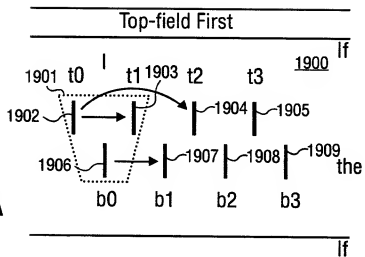


FIG. 19A

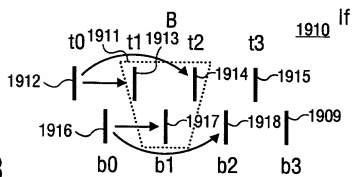


FIG. 19B

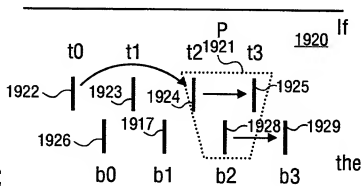


FIG. 19C

FIG. 19D

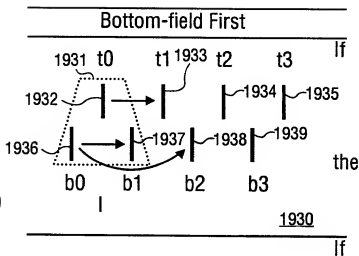


FIG. 19E

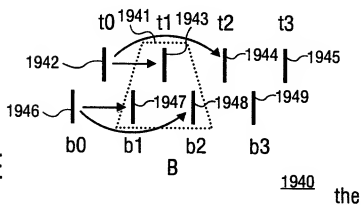
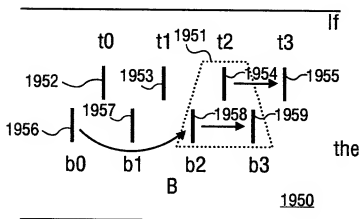


FIG. 19F



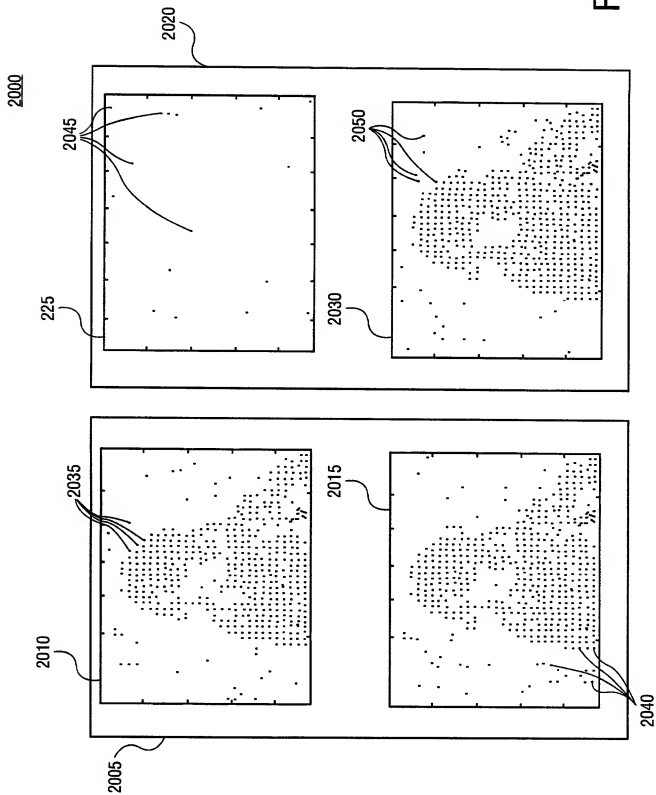


FIG. 20

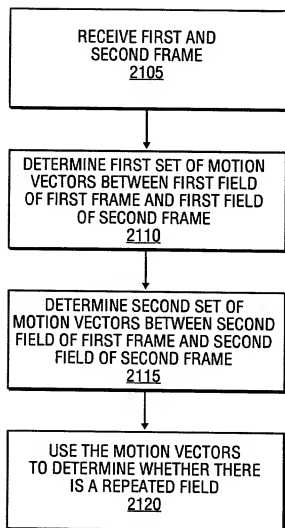


FIG. 21



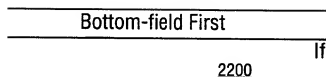


FIG. 22A

the

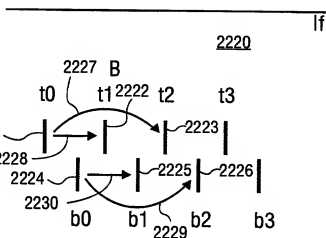


FIG. 22B

the

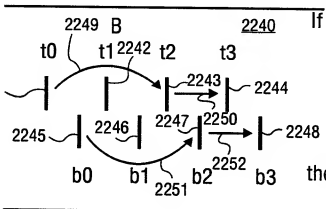


FIG. 22C

the

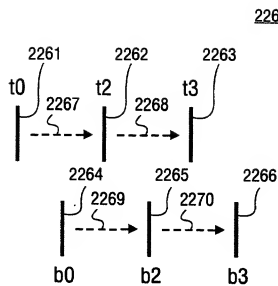


FIG. 22D

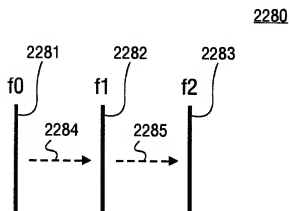


FIG. 22E

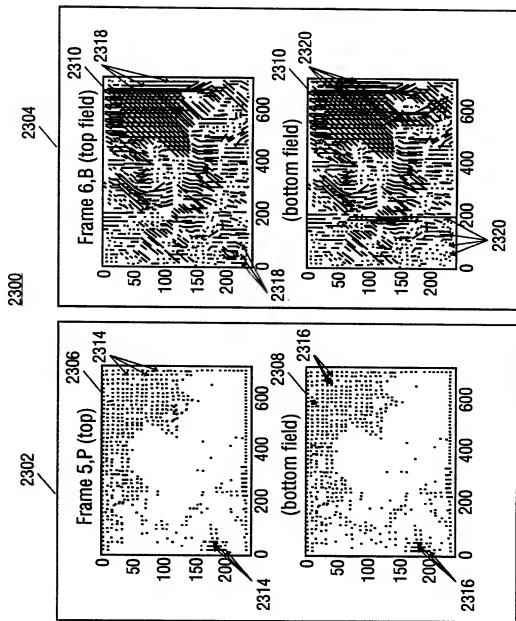


FIG. 23

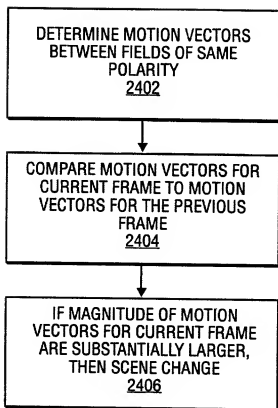


FIG. 24